

Транспорт

УДК 629.3:621.434

Аль К'юбезі М., аспір.

Університет Брайтону, Великобританія

Р.В. Колодницька, к.т.н., доц.

Житомирський державний технологічний університет

МОДЕЛЮВАННЯ НАГРІВАННЯ ТА ВИПАРОВУВАННЯ КРАПЕЛЬ БІОДИЗЕЛЬНОГО ПАЛИВА

Описана розроблена модель для нагрівання та випаровування мультикомпонентних крапель, що враховує ефект температурного градієнту, рециркуляції та дифузії компонентів усередині крапель. Модель була застосована до аналізу крапель біодизельного палива. Прогнозування за цією моделлю порівнювалось з прогнозуванням іншої моделі, що базувалася на наближенні біодизельного палива, використовуючи один компонент. П'ять типів біодизельного палива були розглянуті: Пальмовий Метиловий Ефір, що виграний з пальмової олії; Конопляний Метиловий Ефір, що виграний з конопляної олії в Україні та Євросоюзі; Ріпаковий Метиловий ефір, що виграний з ріпакової олії в Україні, та Соєвий Метиловий Ефір, що виграний з соєвої олії. Було показано, що спрощена модель, що базується на представленні біодизельного палива за допомогою одного компоненту викликає помилку в прогнозуванні випаровування крапель і температури поверхні до 5,5 та 2,4 % відповідно.

Ключові слова: біодизельне паливо, випаровування крапель, моделювання.

Постановка проблеми. Термін «біодизель» використовується для палив, що складаються з моноалкілових ефірів жирних кислот, що походять з рослинної олії або тваринного жиру [1]. Частіше всього біодизель – це метиловий чи етиловий ефір жирної кислоти, що виготовлений з рослинної олії чи тваринного жиру, властивості якого такі, що можуть застосовуватися як паливо у дизельних двигунах внутрішнього згоряння [2]. Згідно з ДСТУ 6081:2009, під дизельним біопаливом розуміють моторне паливо, що виготовлено з сировини біологічного походження для використання в двигунах із запаленням від стиснення. Метиловий ефір ріпакової олії в країнах Європи та метиловий ефір соєвої олії в Америці (ці палива ще називають біодизельними, або «біодизелем») є найбільш розповсюдженими дизельними біопаливами, що використовуються у звичайному дизельному двигуні. В той же час, розвивається виробництво біопалив другого покоління, що, як правило, виготовляються з продуктів, які не придатні для їжі, наприклад, з водоростей. Дано робота сфокусована на моделюванні нагрівання та випаровування крапель біодизельного палива. Моделювання цих процесів дуже важливе, щоб зрозуміти процеси згоряння в дизельному двигуні.

Аналіз останніх досліджень. Декілька моделей для нагрівання та випаровування біодизельного палива були розглянуті в роботах [3, 4]. Так, в роботі [3] було проаналізовано випаровування двох зразків БП, користуючись методами неперервної термодинаміки. Більшість із існуючих моделей, або ігнорують температурний градієнт і дифузію компонентів усередині крапель або беруть їх до уваги, базуючись на числовому рішенні диференційних рівнянь в часткових похідних. Альтернативний підхід до моделювання цих процесів, що базується на введенні аналітичних рішень диференційних рівнянь в числові алгоритми, був розглянутий в [5, 6]. Модель, що використовується у нашому аналізі базується на останньому підході.

Метою статті є моделювання нагрівання та випаровування крапель біодизельних палив, базуючись на їх молекулярному складі.

Базові рівняння та апроксимації. Модель нагрівання та випаровування крапель, що використовується у цій статті описана в роботі [6]. Основні ідеї цієї моделі коротко описані в статті. Оскільки і в [3–13], допускається, що процеси випаровування та нагрівання в краплях є сферично – симетричними. Модель бере до уваги наступні процеси, що відбуваються усередині крапель: 1) дифузію різних складових частин (компонентів); 2) обмежену температуропровідність; 3) внутрішню рециркуляцію завдяки відносній швидкості між оточуючим газом і краплею. Вплив крапель на оточуюче повітря ігнорується у даній моделі. Нагрівання крапель описується наступним переходіним тепловим рівнянням провідності:

$$\frac{\partial T}{\partial t} = \kappa \left(\frac{\partial^2 T}{\partial R^2} + \frac{2}{R} \frac{\partial T}{\partial R} \right) \quad (1)$$

де t – час; R – відстань від центра краплі; T – температура; κ – ефективна температуропровідність.

Ефективну температуропровідність κ можна визначити, як і в [11]:

$$\kappa = \frac{k_{\text{eff}}}{C_l \rho_l}, \quad (2)$$

де k_{eff} – ефективний коефіцієнт тепlopровідності; C_l – питома теплоємність рідини; ρ_l – густина рідини.

Значення k_{eff} можна визначити за допомогою наступного виразу:

$$k_{\text{eff}} = \chi k_l, \quad (3)$$

де χ враховує рециркуляцію всередині крапель [7, 8].

Коефіцієнт χ приймає значення 1 (коли число Пекле $\text{Pe}_{d(l)} = \text{Re}_{d(l)} \text{Pr}_l < 10$) та 2,72, коли ($\text{Pe}_{d(l)} > 500$). Модель, що базується на апроксимаціях (2) та (3), відома як «Модель Ефективної Теплової Провідності» (Effective Thermal Conductivity) або (ETC) модель. Початкові та граничні умови можуть бути записані наступним чином:

$$\left. \begin{array}{l} T(t=0) = T_{d0}(R) \\ h(T_g - T_s) = k_{\text{eff}} \frac{\partial T}{\partial R} \Big|_{R=R_d=0} \end{array} \right\}, \quad (4)$$

де $T_s = T_s(t)$ – температура поверхні краплі;

R_d – радіус краплі;

$T_g = T_g(t)$ – температура оточуючого середовища;

$h = h(t)$ коефіцієнт тепловіддачі.

Коефіцієнт h зв'язаний з числом Нуселта Nu наступним чином:

$$Nu = 2R_d \frac{h}{k_g}, \quad (5)$$

де k_g – коефіцієнт тепlopровідності газу.

Щоб взяти до уваги ефект випаровування, температура газу T_g була замінена на так названу ефективну температуру T_{eff} [5]:

$$T_{\text{eff}} = T_g + \frac{\rho_l L \dot{R}_{de}}{h}, \quad (6)$$

де L – латентна теплота випаровування;

\dot{R}_{de} – швидкість зміни радіусу краплі завдяки випаровуванню.

Допускаючи, що $h = \text{const}$, рівняння (1) має аналітичне рішення, що на проміжку часу $\Delta t = t_1 - t_0$, дає наступний вираз для температури в кінці кожного часового кроку t_1 [7]:

$$T(R, t_1) = \frac{1}{R} \sum_{n=1}^{\infty} \left\{ q_n \exp[-\kappa_R \lambda_n^2 t_1] - \frac{R_d^2 \sin \lambda_n}{\|v_n\|^2 \lambda_n^2} \mu_0(0) \exp[-\kappa_R \lambda_n^2 t_1] - \frac{R_d^2 \sin \lambda_n}{\|v_n\|^2 \lambda_n^4} \int_0^t \frac{d\mu_0(\tau)}{d\tau} \exp[-\kappa_R \lambda_n^2 (t-\tau)] d\tau \right\}, \quad (7)$$

де

$$\|v_n\|^2 = \frac{R_d}{2} \left(1 - \frac{\sin 2\lambda_n}{2\lambda_n} \right) = \frac{R_d}{2} \left(1 + \frac{h_{0T}}{h_{0T}^2 + \lambda_n^2} \right), \quad q_n = \frac{1}{\|v_n\|^2} \int_0^{R_d} R T_{d0}(R) \sin \left(\lambda_n \frac{R}{R_d} \right) dR,$$

$$k_R = \frac{k_l}{c_l \rho_l R_d^2}, \quad \mu_0(t) = \frac{h T_g(t) R_d}{k_l}, \quad h_{0T} = \left(\frac{h R_d}{k_{\text{eff}}} \right) - 1, \quad \dot{\mu_0} \equiv \frac{d \mu_0(t)}{dt}.$$

Установка власних значень λ_n , $n > 0$ (тривіальне рішення $\lambda = 0$ не розглядається), знайдено з рішення наступного рівняння:

$$\lambda \cos \lambda + h_{0T} \sin \lambda = 0 \quad (8)$$

У моделі був взятий до уваги ефект теплового випучування під час випаровування. Радіус краплі R_d перераховувався в кінці кожного кроку Δt наступним чином [7–9]:

$$R_{d(\text{new})} = R_{d(\text{old})} + \dot{R}_d \Delta t; \quad \dot{R}_d = \frac{\dot{m}_d}{4\pi R_d^2 \rho_l} + \frac{R_d(\bar{T}_0)}{\Delta t} \left[\left(\frac{\rho(\bar{T}_0)}{\rho(\bar{T}_1)} \right)^{\frac{1}{3}} - 1 \right], \quad (9)$$

де \dot{R}_d – швидкість зміни радіусу завдяки випаровуванню та випучуванню,

\bar{T}_0 та \bar{T}_1 – середні температури краплі на початку $t = t_0$ і в кінці часового кроку $t = t_1$,

$\Delta t = t_1 - t_0$

\dot{m}_d – швидкість випаровування маси краплі [9]:

$$\dot{m}_d = -2\pi R_d D_v \rho_g B_M Sh_{iso}, \quad (10)$$

де ρ_g – густина оточуючого газу;

D_v – подвійний коефіцієнт дифузії парів біодизеля у повітрі;

$B_M = (Y_{VS} - Y_V) : (1 - Y_{VS})$:

Y_{VS} та Y_V – масова доля пари близько до поверхні краплі та в оточуючому газі, відповідно;

Sh_{iso} – число Шервуда для ізольованої краплі, що випаровується.

Sh_{iso} – відповідне число Нуссельта для ізольованої краплі.

u_{iso} визначалося, використовуючи модель Абрамзона та Сірігнано [8].

Число Спалдинга B_T , яке використовується, щоб визначити Nu_{iso} , пов'язане з B_M за допомогою наступного рівняння [8]:

$$B_T = (1 + B_M)^\varphi - 1, \quad (11)$$

де C_{pv} та C_{pa} – питома теплоємність парів біодизеля та повітря, відповідно.

φ знаходитьться за наступним рівнянням:

$$\varphi = \left(\frac{C_{pv}}{C_{pa}} \right) \left(\frac{Sh^*}{Nu^*} \right) \frac{1}{L}, \quad (12)$$

Sh^* та Nu^* визначаються як у [8]. Оскільки φ є функція від B_T , рівняння (11) вирішувалося,

використовуючи метод ітерацій. В попередній версії цієї моделі [7,11,12], вплив параметру $\frac{Sh^*}{Nu^*}$ ігнорувався, допускаючи, що $\frac{Sh^*}{Nu^*} = 1$.

У випадку, коли крапля містить декілька компонентів, потрібно враховувати ефект дифузії окремих складових частин всередині краплі. Час розвитку масової долі складових частин за будь-якого R описується за допомогою наступного рівняння (6,7):

$$\frac{\partial Y_{li}}{\partial t} = D_{eff} \left(\frac{\partial^2 Y_{li}}{\partial R^2} + \frac{2}{R} \frac{\partial Y_{li}}{\partial R} \right), \quad (13)$$

де $i > 1$;

D_{eff} – ефективний коефіцієнт дифузії рідких компонентів.

Ефективний коефіцієнт дифузії може бути підрахований за наступною формулою:

$$D_{eff} = \chi_Y D_l,$$

де D_l – коефіцієнт дифузії рідини;

χ_Y – коефіцієнт (змінюється від 1 до 2,72 [7, 10]).

χ_Y бере до уваги рециркуляцію всередині крапель і може бути апроксимований таким чином:

$$\chi_Y = 1.86 + 0.86 \tanh \left[2.225 \log_{10} \left(\frac{Re_{d(l)} Sc_l}{30} \right) \right], \quad (14)$$

де $Re_{d(l)}$ – число Рейнольдса,

$$Sc_l = \frac{v_l}{D_l},$$

– число Шмідта для рідини,

v_l – кінематична в'язкість рідини.

Модель, що базується на введенні D_{eff} , відома як Модель Ефективної Дифузійності (ED) (Effective Diffusivity). У більшості попередньо використаних дослідженнях щодо нагрівання та випаровування крапель були використані «Infinite Thermal Conductivity» (ITC) та «Infinite Diffusivity» (ID) моделі. В цих моделях допускалося, що $k_{eff} = \infty$ та $D_{eff} = \infty$. Рівняння (13) вирішується, використовуючи наступні початкові та граничні умови:

$$\left. \begin{aligned} Y_{li}(t=0) &= Y_{li0}(R) \\ \alpha(\epsilon_i - Y_{lis}) &= -D_{eff} \frac{\partial Y_{li}}{\partial R} \Big|_{R=R_d-0} \end{aligned} \right\}, \quad (15)$$

де $Y_{lis} = Y_{lis}(t)$ – масові долі компонентів на поверхні краплі,

ϵ_i – швидкість випаровування кожного компоненту.

$$\epsilon_i = \frac{Y_{vis}}{\sum_i Y_{vis}}, \text{ та } \alpha = \frac{|h_d|}{(4\pi\rho_l R_d^2)},$$

Допускаючи, що D_{eff} та α постійні та однакові для всіх компонентів, аналітичне рішення рівняння (13) може бути представлене, як у роботі [6]:

$$Y_{li} = \epsilon_i + \frac{1}{R} \left\{ \begin{aligned} &\left[\exp \left[D_{eff} \left(\frac{\lambda_0}{R_d} \right)^2 t \right] [q_{i0} - \epsilon_i Q_0] \sinh \left(\lambda_0 \frac{R}{R_d} \right) + \right. \\ &\left. \sum_{n=1}^{\infty} \left[\exp \left[-D_{eff} \left(\frac{\lambda_n}{R_d} \right)^2 t \right] [q_{in} - \epsilon_i Q_n] \sin \left(\lambda_n \frac{R}{R_d} \right) \right] \right\}, \end{aligned} \right. \quad (16)$$

де λ_0 та λ_n визначаються з рішення рівнянь $\tanh \lambda_0 = -\lambda_0/h_{0Y}$ та $\tanh \lambda_n = -\lambda_n/h_{0Y}$ ($n \geq 1$),

$$h_{0Y} = -\left(1 + \frac{\alpha R_d}{D_{eff}} \right),$$

$$Q_n = \begin{cases} -\frac{1}{\|v_0\|^2} \left(\frac{R_d}{\lambda_0} \right)^2 (1 + h_{0Y}) \sinh \lambda_0 & \text{коли } n = 0 \\ \frac{1}{\|v_n\|^2} \left(\frac{R_d}{\lambda_n} \right)^2 (1 + h_{0Y}) \sin \lambda_n & \text{коли } n \geq 1 \end{cases}$$

$\|v_n\|^2$ одержується з рівняння (7), замінивши h_{0T} на h_{0Y} , та:

$$q_{in} = \begin{cases} \frac{1}{\|v_0\|^2} \int_0^{R_d} R Y_{li0}(R) \sinh \left(\lambda_0 \frac{R}{R_d} \right) dR & \text{коли } n = 0 \\ \frac{1}{\|v_n\|^2} \int_0^{R_d} R Y_{li0}(R) \sin \left(\lambda_n \frac{R}{R_d} \right) dR & \text{коли } n \geq 1 \end{cases}$$

D_{eff} оцінюється як середній параметр для біодизельного палива, що базується через вклад масової долі кожного компонента. В монокомпонентній моделі, рівняння (16) не використовується.

Результати та аналіз. Для всіх типів біодизельного палива, що згадані вище, були виконані розрахунки, використовуючи наступні значення входних параметрів: $R_{d0} = 12,66$ мікрон, $T_{s0} = 375$ К, $T_g = 880$ К та $p_g = 30$ бар, для крапель, що рухалися з постійною швидкістю ($10 \text{ м}\cdot\text{s}^{-1}$). Ці розрахунки були зроблені 1) за допомогою ETC/ED моделі (мультикомпонентна модель), враховуючи вклад всіх 16 компонентів; 2) за допомогою ETC моделі, замінивши всі компоненти одним компонентом з середніми транспортними та термодинамічними властивостями [10], та 3) за допомогою ITC/ID моделі, взявши до уваги вклад усіх компонентів.

Графіки температури поверхні і радіуса залежно від часу для RME, показані на рисунку 1. Наш аналіз показав, що мультикомпонентна модель прогнозує на 2–4 % вищу максимальну температуру поверхні і на 5,5% більший час випаровування порівняно з однокомпонентною моделлю. Ця тенденція узгоджується з результатами, що були одержані раніше в [6, 9–13] для крапель дизелю та бензину в якості палива. З точки зору мультикомпонентної моделі, вигляд температури поверхні і радіусу краплі пов’язані з тим, що масова доля компонентів з більшою кількістю атомів вуглецю збільшується за рахунок зменшення компонентів з меншою кількістю атомів вуглецю.

На рисунку 2 показана еволюція з часом масових долей поверхні шести домінуючих компонентів для RME (C16:0, C18:1, C22:1, C24:1, C18:2, C18:3). Графіки температури всередині RME краплі залежно від нормалізованої відстані від центра краплі R/R_d для трьох миттєвих часів (0,02 мс, 0,3 мс та 0,5 мс), що спрогнозовані за допомогою ETC/ED моделі, показані на рисунку 3. Як видно, температурний градієнт всередині краплі помітний тільки на дуже ранній стадії ($t = 0,02$ мс). Графіки масової долі компонентів в залежності від R/R_d , що спрогнозовані за допомогою ETC/ED моделі для трьох миттєвих часів (0,3 мс, 0,5 мс та 1 мс), показані на рисунку 4.

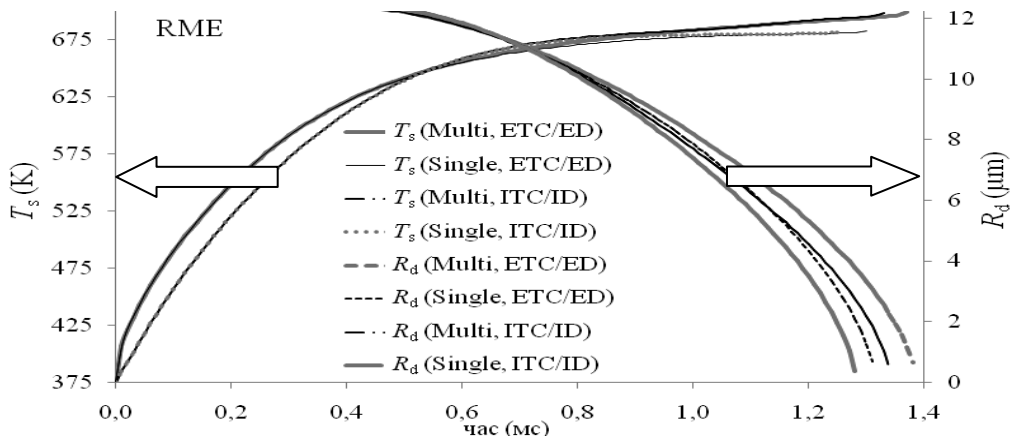


Рис. 1. Температура поверхні краплі (T_s) та радіус (R_d) залежно від часу, що спрогнозовані за допомогою чотирьох моделей для RME. Початковий радіус краплі та температура допускається рівними 12,66 мкм та 375 К відповідно. Тиск та температура оточуючого газу дорівнює 30 бар та 880 К, відповідно.

Крапля рухається з постійною швидкістю 10 м/с

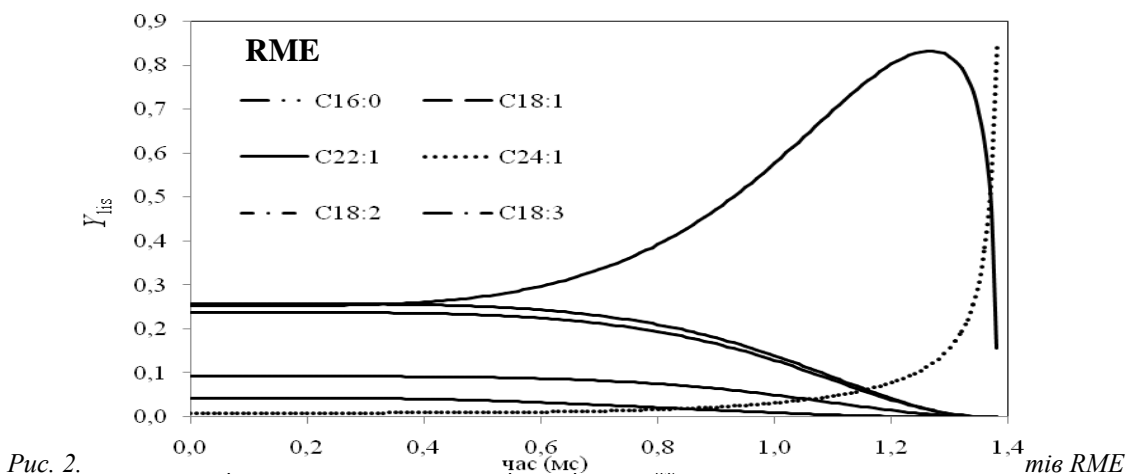


Рис. 2. V_{fis} залежно від часу (мс) за тих же самих параметрів, що і на рис. 1

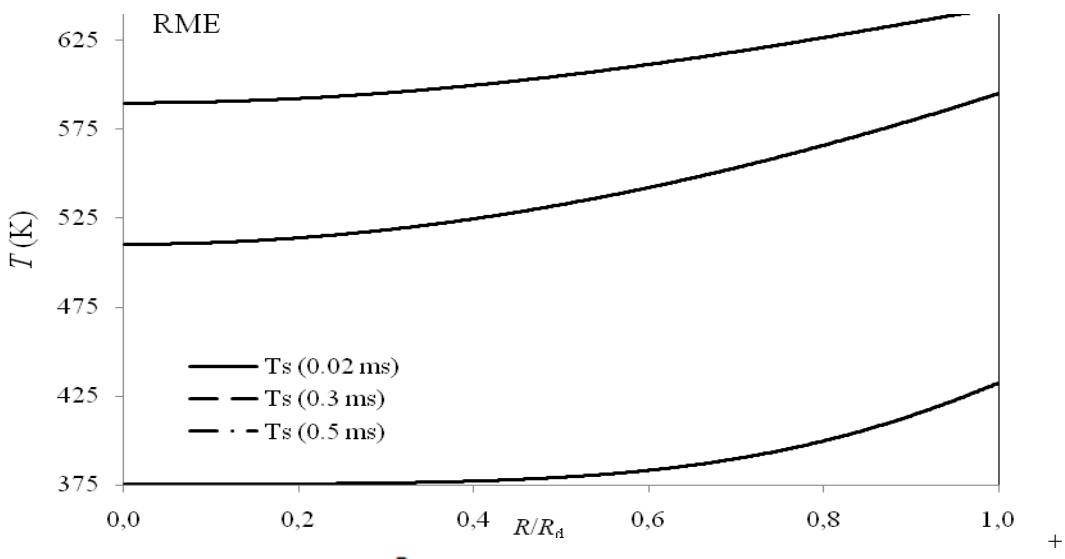


Рис. 3. Зміна температури T залежно від $\frac{R}{R_d}$ для часів 0,02 мс, 0,3 мс та 0,5 мс, що спрогнозована за допомогою ETC/ED моделі, для тих же самих параметрів, що і на рис. 1

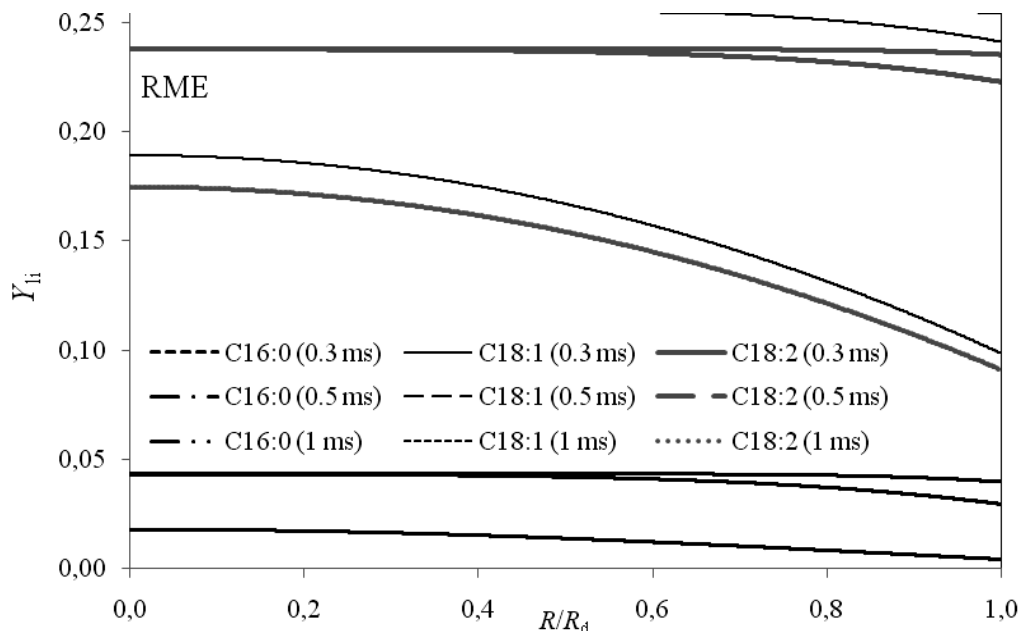


Рис. 4. Зміна масова долі рідкої фракції Y_{li} залежно від $\frac{R}{R_d}$ для часів 0,3 мс, 0,5 мс та 1 мс, що спрогнозована за допомогою ETC/ED моделів для тих же параметрів, що на рис. 1

Різниця між часом для масових доль рідких складових частин показана на рисунку 2. Ця різниця може бути пов'язана з результатами, що показані на Рис. 4. Ці два рисунки показують важливість того, що потрібно брати до уваги дифузію складових всередині краплі разом з ефектом температурної зміни у них (рис. 3). Можна зробити висновок, що ігнорування ефекту дифузії складових частин, температурного градієнту і рециркуляції всередині крапель, (що часто трапляється при моделюванні нагрівання та випаровування біодизельного палива в інженерних додатках), може привести до значних помилок у прогнозуванні температури поверхні краплі та часу випаровування.

Позначення

B_M	масове число Спалдинга	κ	температуропровідність
B_T	коєфіцієнт тепловіддачі Спалдинга	ε	швидкість випаровування
C	пітому теплоємність [$\text{Дж}\cdot\text{kg}^{-1}\cdot\text{K}^{-1}$]	λ	власні значення
D	коєфіцієнт дифузії [$\text{м}^2\cdot\text{s}^{-1}$]	μ	динамічна в'язкість [$\text{Па}\cdot\text{s}$]
h	коєфіцієнт тепловіддачі [$\text{Вт}\cdot\text{м}^{-2}\cdot\text{K}^{-1}$]	μ_0	параметр, введений у рівнянні (7)
k	тепlopровідність [$\text{Вт}\cdot\text{м}^{-1}\cdot\text{K}^{-1}$]	ρ	густина [$\text{кг}\cdot\text{м}^{-3}$]
L	скрита теплота випаровування [$\text{Дж}\cdot\text{kg}^{-1}$]	<i>Індекси</i>	
P	тиск	d	крапля
Pe	число Пекле	eff	ефективний
q_{in}	параметр введений у рівняння (14)	g	газ
q_n	параметр, введений у рівняння (7)	i	індекс для компонентів
Q_n	параметр, введений у рівняння (14)	iso	ізольований
R	відстань від центру краплі [м]	l	рідина
R_d	радіус краплі [м]	s	поверхня
Re	число Рейнольдса	T	температура
Sc	число Шмідта	v	пар
Sh	число Шервуда	Y	компонент
t	час [с]		
T	температура [К]		
Y	масова доля		

Список використаної літератури:

1. Hoekman Review of biodiesel composition, properties, and specifications / Hoekman, A.Broch // Renewable and Sustainable Energy Reviews, 2012.

2. *Lapuerta M., Armas O.* Effect of biodiesel fuels on diesel engine emissions / *M.Lapuerta, O.Armas* // Progress in Energy and Combustion Science, 2008.
3. *Hallett W.H.L.* Modelling biodiesel droplet evaporation using continuous thermodynamics / *W.H.L. Hallett, N.V. Legault* // Fuel, 2011.
4. *Saha K.* Multicomponent evaporation model for pure and blended biodiesel droplets in high temperature convective environment / *K.Saha, E.Abu-Ramadan* // Applied Energy, 2012.
5. *Sazhin S.S.* Models for fuel droplet heating and evaporation: comparative analysis / *S.S. Sazhin, T.Kristyadi* // Fuel, 2006.
6. *Sazhin S.S.* Advanced models of fuel droplet heating and evaporation / *S.S. Sazhin* // Progress in Energy and Combustion Science, 2006.
7. *Sazhin S.S.* A simplified model for bi-component droplet heating and evaporation / *S.S. Sazhin, A.E. Elwardany* // Int. J of Heat and Mass Transfer, 2010.
8. *Abramzon B.* Droplet vaporization model for spray combustion calculations / *B.Abramzon W.A.Sirignano* // Int. J of Heat and Mass Transfer, 1989.
9. *Gusev I.G.* A study of the species diffusion equation in the presence of the moving boundary / *I.G. Gusev, P.A. Krutitskii* // Int. J of Heat and Mass Transfer, 2012.
10. *Elwardany A.E.* Mono- and multi-component droplet cooling/heating and evaporation: comparative analysis of numerical models / *A.E. Elwardany, I.G. Gusev* // Atomization and Sprays, 2011.
11. *Sazhin S.S.* A quasi-discrete model for heating and evaporation of complex multicomponent hydrocarbon fuel droplets / *S.S. Sazhin, A.Elwardany* // Int. J of Heat and Mass Transfer, 2011.
12. *Elwardany A.E.* A quasi-discrete model for droplet heating and evaporation: application to Diesel and gasoline fuels / *A.E. Elwardany, S.S. Sazhin* // Fuel, 2012.
13. *Sazhin S.S.* Multi-component droplet heating and evaporation: numerical simulation versus experimental data / *S.S. Sazhin, A.E. Elwardany* // Int. J of Thermal Science, 2011.

КОЛОДНИЦЬКА Руслана Віталіївна – доцент кафедри автомобілів та автомобільного господарства Житомирського державного технологічного університету.

Наукові інтереси:

- біопалива та екологічна безпека автомобіля;
- моделювання випаровування палива у двигунах внутрішнього згоряння;
- проблеми руйнування матеріалів;
- композитні матеріали на основі натуральних волокон.

АЛЬ К'ЮБЕЗІ Мансур – аспірант, Університет Брайтону, Великобританія

Наукові інтереси:

- моделювання випаровування дизельного біопалива у дизельних двигунах.

Стаття надійшла до редакції 04.08.2014

Аль К'юбезі М., Колодницька Р.В. Моделювання нагрівання та випаровування крапель біодизельного палива

Аль Кьюбези М., Колодницкая Р.В. Моделирование нагревания и испарения капель биодизельного топлива

Al Qubeissi M., Kolodnytska R.V. Modelling of heating and evaporation of biodiesel fuels

УДК 629.3:621.43

Моделирование нагревания и испарения капель биодизельного топлива / М.Аль Кьюбези, Р.В. Колодницкая

Описана разработанная модель для нагревания и испарения мульти-компонентных капель, которая учитывает эффект температурного градиента, рециркуляции и диффузии компонентов внутри капель. Модель была использована для анализа капель биодизельного топлива. Прогнозирование при помощи этой модели сравнивалось с прогнозированием другой модели, которая базировалась представлением биодизельного топлива при помощи одного компонента. Пять типов биодизельного топлива были рассмотрены: Пальмовый Метиловый Эфир, который изготовлен с пальмового масла; Конопляный Метиловый Эфир, который изготовлен из конопляного масла на Украине и в Евросоюзе; Рапсовый Метиловый Эфир, который изготовлен из рапсового масла в Украине; Соевый Метиловый Эфир, который изготовлен из соевого масла. Было показано, что упрощенная модель, базирующаяся на представлении биодизельного топлива при помощи одного компонента, приводит к ошибке в прогнозировании испарения капель и температуры поверхности до 5,5 и 2,4 % соответственно.

Ключевые слова: биодизельное топливо, испарение капель, моделирование.

УДК 629.3:621.43

Modelling of heating and evaporation of biodiesel fuels / M.Al Qubeissi, R.V. Kolodnytska

A model for heating and evaporation of multi-component droplets, taking into account the effects of temperature gradient, recirculation and species diffusion inside them is described. The model is applied to the analysis of biodiesel droplets. The predictions of this model are compared with the predictions of the model based on the approximation of biodiesel fuel by a single component. Five types of biodiesel fuels are considered: Palm Methyl Ester, produced from palm seed oil; Hemp Methyl Esters, produced from hemp seed oil in the Ukraine and the European Union; Rapeseed oil Methyl Ester, produced from rapeseed oil in the Ukraine; and Soybean oil Methyl Ester, produced from soybean oil. It is shown that a simplistic model, based on the approximation of biodiesel by one component, leads to errors in predicted droplet evaporation times and surface temperatures up to 5,5 and 2,4 %, respectively.

Keywords: biodiesel, droplet evaporation, modeling.